

暗黒物質の起源と力の大統一

阿部慶彦

(京大)

@ PPP2021

2021/09/07

藤間崇(金沢大), 津村浩二(九州大), 山津直樹(九州大)

との共同研究に基づく

Ref. Phys. Rev. D **104**, 035011 [arXiv:2104.13523 [hep-ph]]

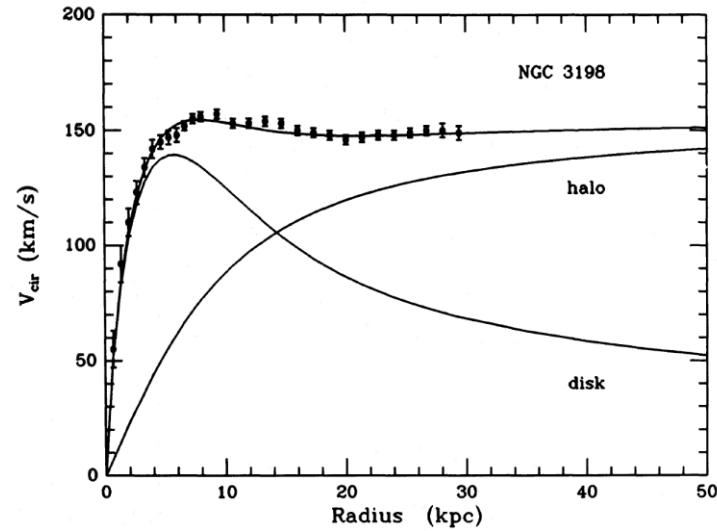
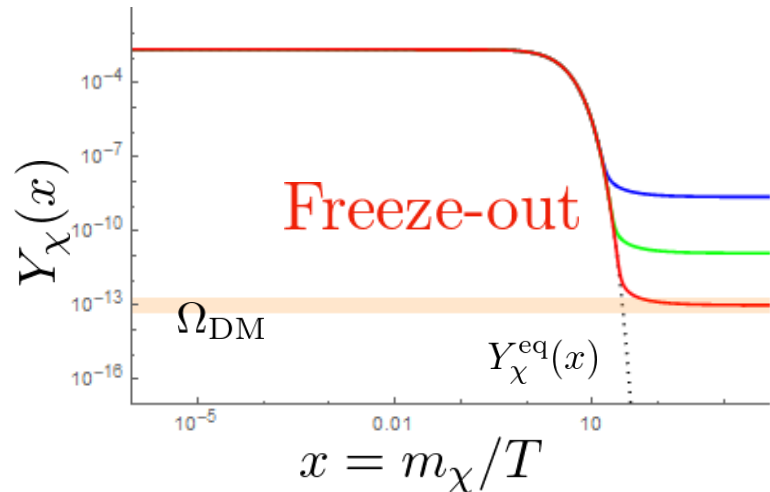
暗黒物質

- 暗黒物質(DM)
 - DMの存在は観測結果から確実
 - DMの性質はまだまだ謎が多い
 - DMの発見⇒ BSMの大きな一歩

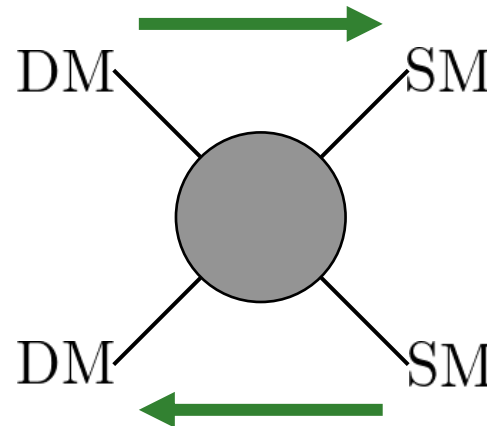
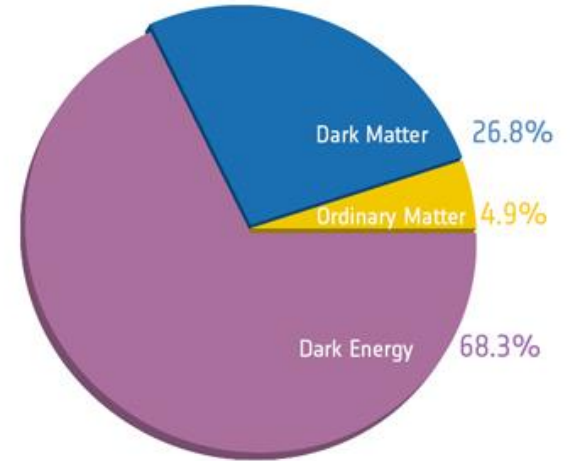
$$\Omega_{\text{DM}} h^2 = 0.120 \pm 0.001$$

[PLANCK collaboration arXiv:1807.06209]

- WIMP DM → 熱的にDM残存量を説明

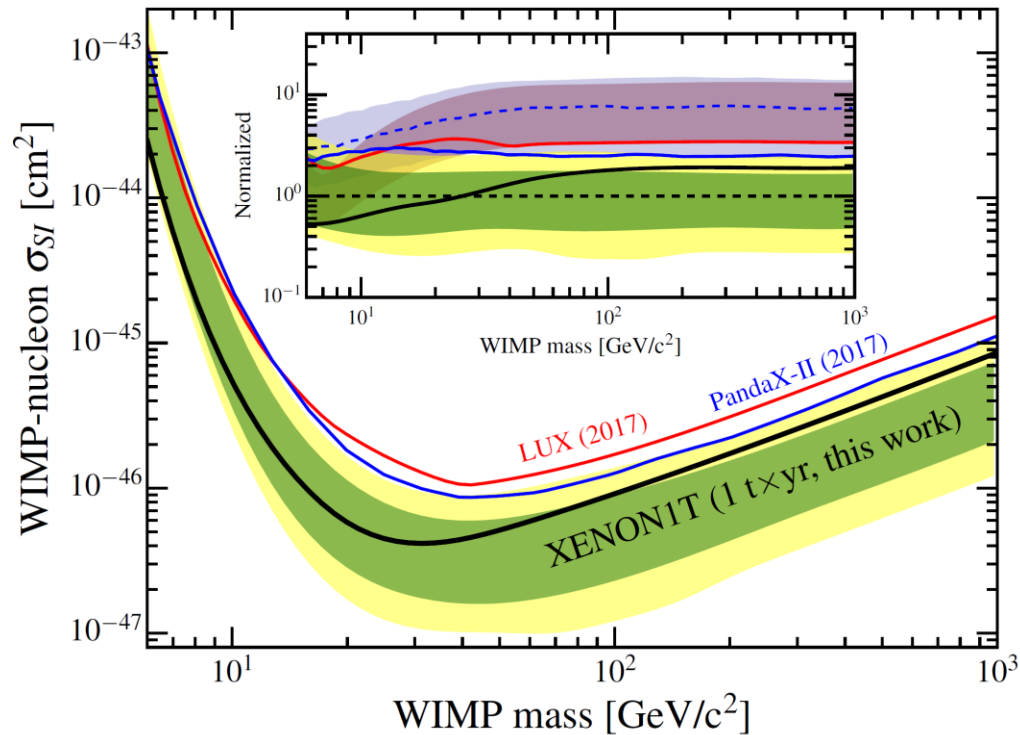


[Albada *et al.* '85]

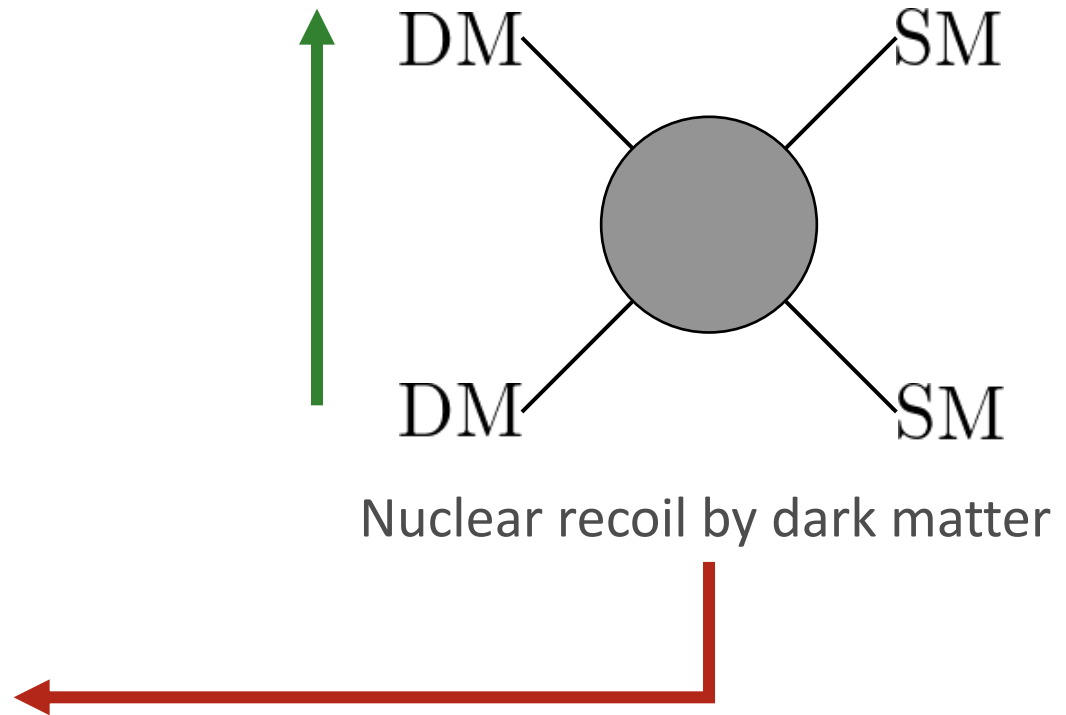


直接探索実験からの制限

- DMの直接探索実験からの制限
LUX, PandaX-II, XENON
⇒ WIMPと核子との散乱断面積に**厳しい制限**



[XENON collaboration '18]



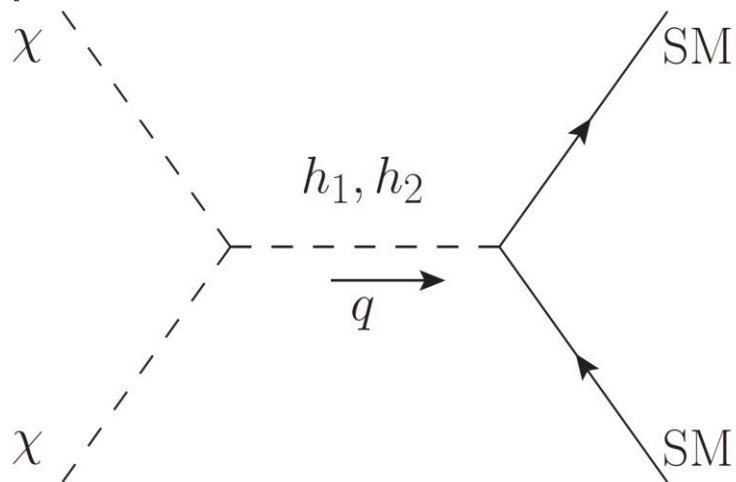
擬南部-ゴールドストーンボソン(pNGB) DM

[Gross-Lebedev-Toma '17]

- SM + SM singlet scalar S w/ global $U(1)_S$
- Nambu-Goldstoneボソンのsoft-massを導入 \rightarrow 対称性は $U(1)_S \rightarrow \mathbb{Z}_2$ になる
 \rightarrow pseudo-Nambu-Goldstoneボソン (pNGB)

$$\mathcal{V}(H, S) = -\frac{\mu_H^2}{2}|H|^2 - \frac{\mu_S^2}{2}|S|^2 + \frac{\lambda_H}{2}|H|^4 + \frac{\lambda_S}{2}|S|^4 + \lambda_{HS}|H|^2|S|^2 - \frac{m^2}{4}(S^2 + S^{*2})$$

- スカラー粒子はSM Higgs, 2nd Higgs, pNGB
- pNGB DMとSMフェルミオンの散乱振幅



$$i\mathcal{M}_{\chi\text{SM} \rightarrow \chi\text{SM}} \sim \frac{\sin\theta \cos\theta (m_{h_1}^2 - m_{h_2}^2)}{v_s m_{h_1}^2 m_{h_2}^2} q^2 \xrightarrow{q^2 \rightarrow 0} 0$$

Cf. soft pion theorem

pNGB DM とゲージ化された $U(1)_{B-L}$ 模型

[YA-Toma-Tsumura '20]

pNGB DMの起源はどこだ？

- シンプルpNGB模型の紫外完全化は？
- Soft breaking termはどこから来るのか？

$$V_{\text{soft}}(S) = -\frac{m^2}{4}(S^2 + S^{*2})$$

- 提案：ゲージ化された $U(1)_{B-L}$ 模型

[YA-Toma-Tsumura '20, Okada *et al.* '20]

UVの物理の(QGと整合的である)対称性は**ゲージ対称性**
(離散対称性 → ゲージ化された離散対称性)

[Banks-Seiberg '10, Vafa '05]

	Q_L	u_R^c	d_R^c	L	e_R^c	H	ν_R^c	DM S	Φ
$SU(3)_C$	3	$\bar{3}$	$\bar{3}$	1	1	1	1	1	1
$SU(2)_L$	2	1	1	2	1	2	1	1	1
$U(1)_Y$	+1/6	-2/3	+1/3	-1/2	+1	+1/2	0	0	0
$U(1)_{B-L}$	+1/3	-1/3	-1/3	-1	+1	0	+1	+1	+2

$$V(H, S, \Phi) \supset -\frac{\mu_c}{\sqrt{2}}(\Phi^* S^2 + \text{h.c.}) \rightarrow -\frac{\mu_c}{\sqrt{2}}(\langle \Phi^* \rangle S^2 + \text{h.c.})$$

\uparrow
 $U(1)_S \times U(1)_\Phi \rightarrow U(1)_{B-L}$

$\sim m^2$

ゲージ化された $U(1)_{B-L}$ 模型

[YA-Toma-Tsumura '20]

- Lagrangian

$$\mathcal{L} = |D_\mu S|^2 + |D_\mu \Phi|^2 + i\overline{\nu_{Ri}} \not{D} \nu_{Ri} - \frac{1}{4} X_{\mu\nu}^2 \left[-\frac{\sin \epsilon}{2} X_{\mu\nu} B^{\mu\nu} \right] - y_{ij}^\nu \tilde{H}^\dagger \overline{\nu_{Ri}} L_j - \frac{y_{ij}^\Phi}{2} \Phi \overline{\nu_{Ri}^c} \nu_{Rj} + \text{h.c.} + \mathcal{L}_{\text{SM}} - V(H, S, \Phi)$$

$U(1)_Y$ と $U(1)_{B-L}$ のキネティック混合

- ゲージ化された $U(1)_{B-L}$ 模型の直感的なストーリー

Energy scale

$\langle \Phi \rangle = v_\phi \sim 10^{13} \text{ GeV}$: $U(1)_{B-L}$ が v_ϕ で破れる

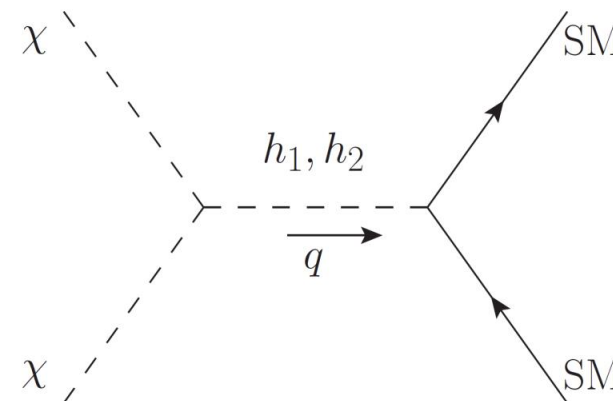
$\tilde{\chi}$ が X_μ に食べれる $\Rightarrow X_\mu$ が massive に $m_X \sim v_\phi$



$v_s \sim \text{TeV}$ SM + singlet scalar S with S^2 term

$v \sim 246 \text{ GeV}$

\Rightarrow pNGB DM χ + 2nd Higgs h_2 = シンプルpNGB DM模型

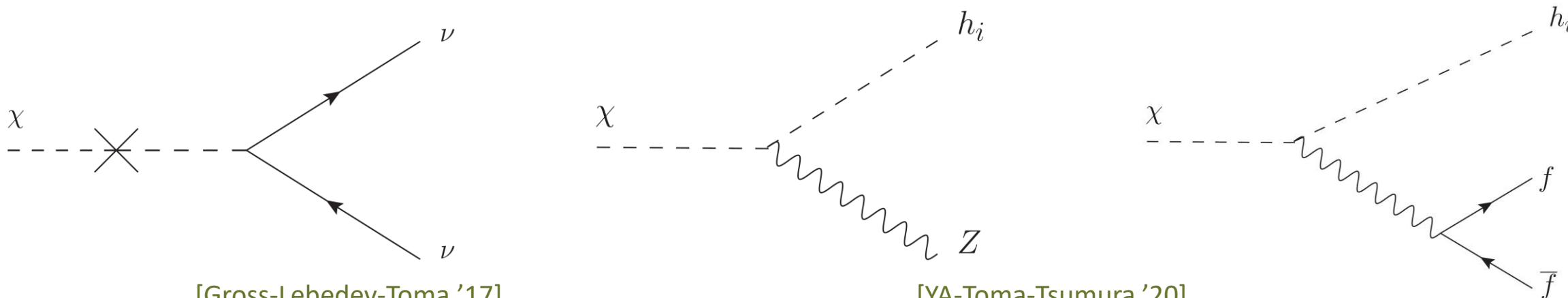


$$i\mathcal{M} \propto -\frac{\sin \theta \cos \theta (m_{h_1}^2 - m_{h_2}^2)}{v_s m_{h_1}^2 m_{h_2}^2} q^2 + \mathcal{O}(1/v_\phi)$$

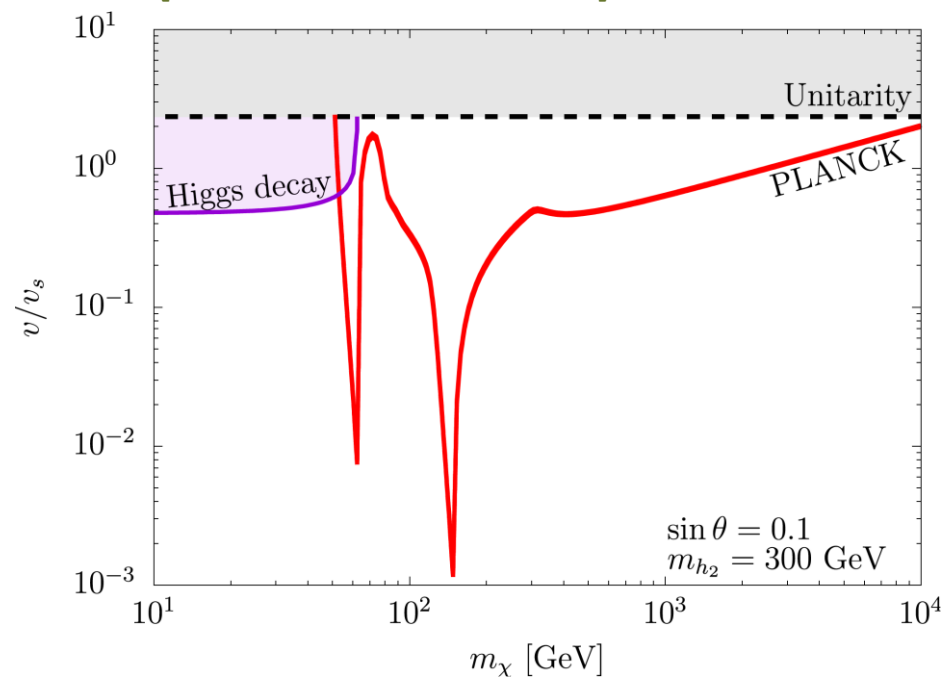
ゲージ化された $U(1)_{B-L}$ 模型

[YA-Toma-Tsumura '20]

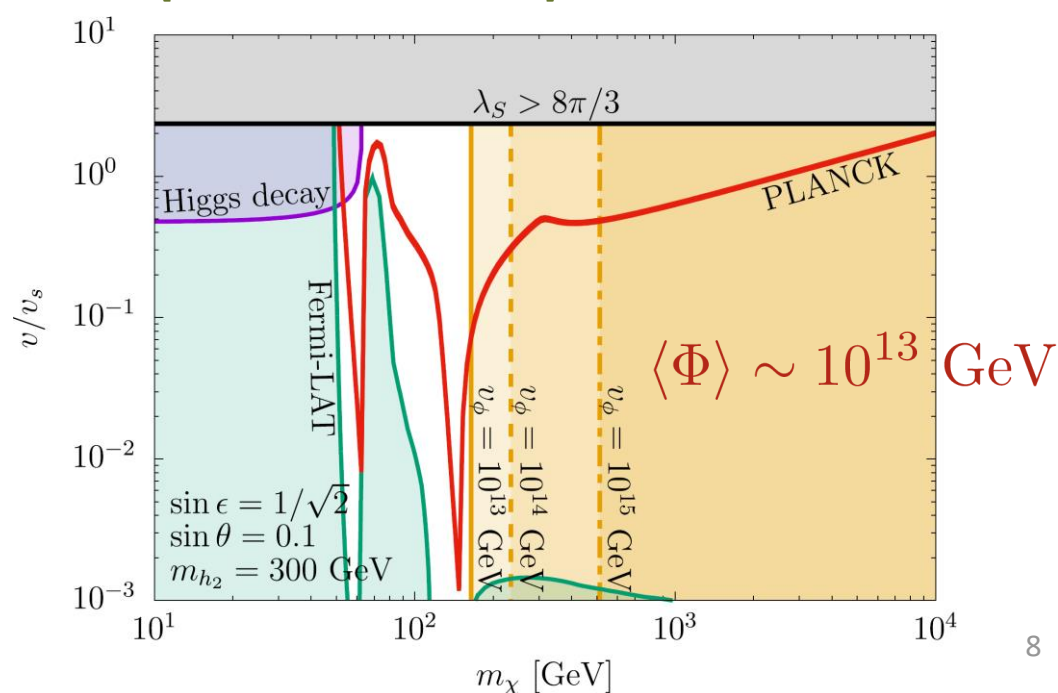
- ゲージ化 \rightarrow ゲージ場との相互作用でDMが**安定化されない**



[Gross-Lebedev-Toma '17]



[YA-Toma-Tsumura '20]



pNGB DM と力の大統一

[YA-Toma-Tsumura-Yamatsu '21]

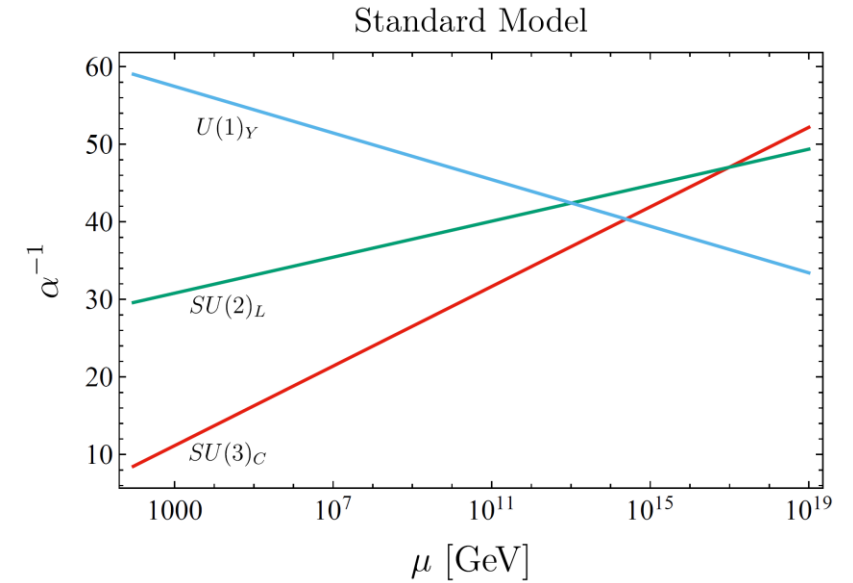
力の大統一

- SM → なぜか、うまくゲージアノマリーがキャンセルしている
- ゲージ結合定数のランニング → 力の統一？

- **大統一理論(GUT)**：

物質場とゲージ相互作用(重力を除く)を
ひとつのゲージ群に基づくゲージ理論に統合

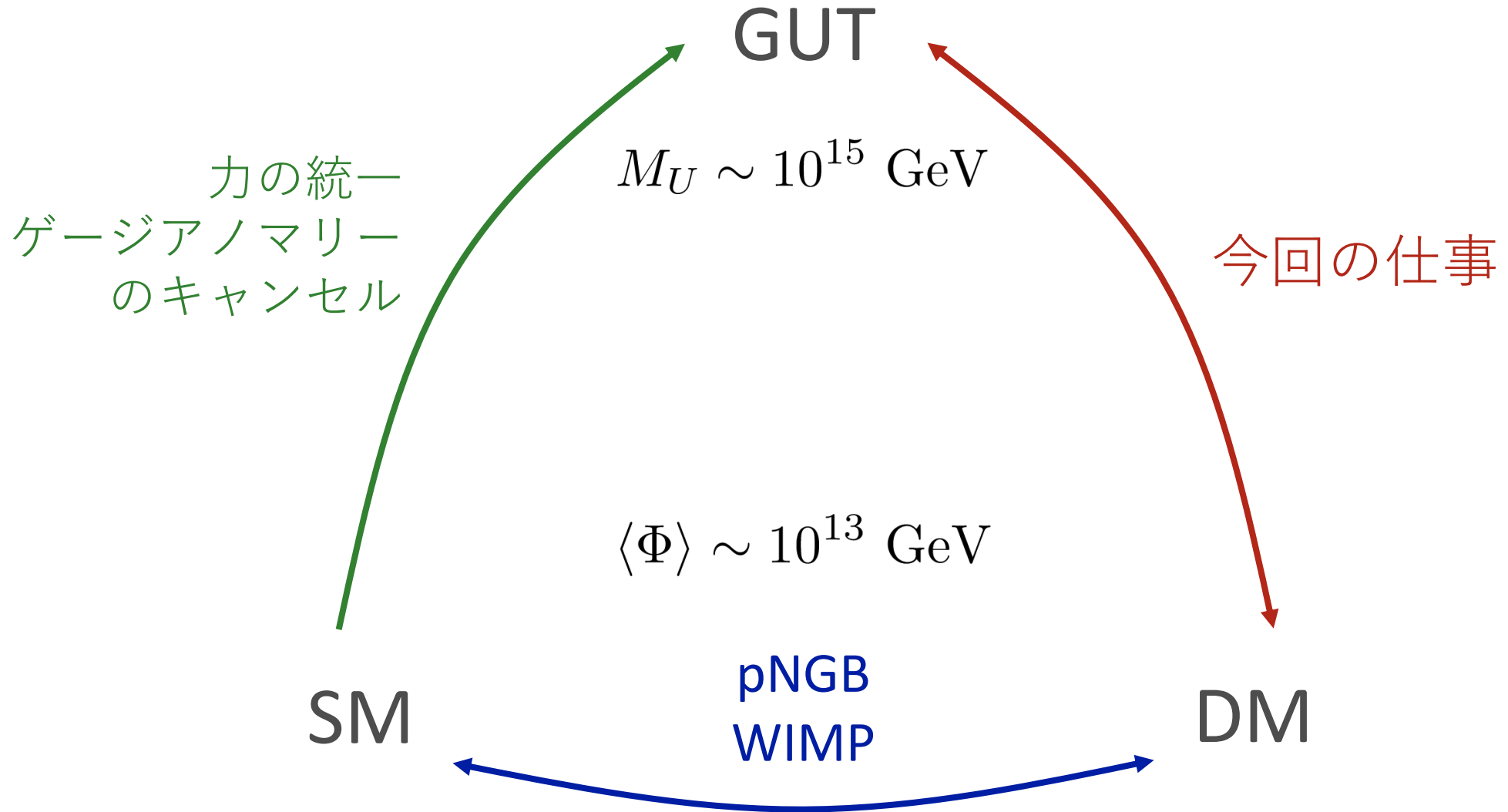
→ 今回は **$SO(10)$** 大統一に注目



$$\left. \begin{array}{l}
 Q_L : (\mathbf{3}, \mathbf{2})_{1/6} \sim 6 \\
 u_R^c : (\bar{\mathbf{3}}, \mathbf{1})_{-2/3} \sim 3 \\
 d_R^c : (\bar{\mathbf{3}}, \mathbf{1})_{1/3} \sim 3 \\
 L : (\mathbf{1}, \mathbf{2})_{-1/2} \sim 2 \\
 e_R^c : (\mathbf{1}, \mathbf{1})_1 \sim 1 \\
 \nu_R^c : (\mathbf{1}, \mathbf{1})_0 \sim 1
 \end{array} \right\} \mathbf{16}$$

SMの一世代の物質場は **$SO(10)$** の
スピノール表現**16**に埋め込まれる

暗黒物質は力の大統一の夢を見るか？



SO(10) pNGB DM模型

- 登場人物たち

[YA-Toma-Tsumura-Yamatsu '21]

	Ψ_{16}						Φ_{10}	Φ_{16}	$\Phi_{\overline{126}}$
SO(10)	16						10	16	$\overline{126}$
	$\psi_{(4,2,1)}$		$\psi_{(\overline{4},1,2)}$				$\phi_{(1,2,2)}$	$\phi_{(\overline{4},1,2)}$	$\phi_{(\overline{10},1,3)}$
G_{PS}	(4, 2, 1)		$(\overline{4}, 1, 2)$				(1, 2, 2)	$(\overline{4}, 1, 2)$	$(\overline{10}, 1, 3)$
	Q_L	L	u_R^c	d_R^c	e_R^c	ν_R^c	H	S	Φ
$SU(3)_C$	3	1	$\overline{3}$	$\overline{3}$	1	1	1	1	1
$SU(2)_L$	2	2	1	1	1	1	2	1	1
$U(1)_Y$	+1/6	-1/2	-2/3	+1/3	+1	0	+1/2	0	0
$U(1)_{B-L}$	+1/3	-1	-1/3	-1/3	+1	+1	0	+1	+2

- 対称性の破れのパターン

$$SO(10) \xrightarrow{\langle \Phi_{210} \rangle \neq 0} G_{PS} = SU(4)_C \times SU(2)_L \times SU(2)_R \xrightarrow{\langle \Phi_{\overline{126}} \rangle \neq 0} G_{SM} \xrightarrow{\langle \Phi_{10} \rangle \neq 0} SU(3)_C \times U(1)_{EM}$$

SO(10) pNGB DM模型

- 登場人物たち

[YA-Toma-Tsumura-Yamatsu '21]

	Ψ_{16}						Φ_{10}	Φ_{16}	$\Phi_{\overline{126}}$
SO(10)	16						10	16	$\overline{126}$
	$\psi_{(4,2,1)}$		$\psi_{(\overline{4},1,2)}$				$\phi_{(1,2,2)}$	$\phi_{(\overline{4},1,2)}$	$\phi_{(\overline{10},1,3)}$
G_{PS}	(4, 2, 1)		$(\overline{4}, 1, 2)$				(1, 2, 2)	$(\overline{4}, 1, 2)$	$(\overline{10}, 1, 3)$
	Q_L	L	u_R^c	d_R^c	e_R^c	ν_R^c	H	S	Φ
$SU(3)_C$	3	1	$\overline{3}$	$\overline{3}$	1	1	1	1	1
$SU(2)_L$	2	2	1	1	1	1	2	1	1
$U(1)_Y$	+1/6	-1/2	-2/3	+1/3	+1	0	+1/2	0	0
$U(1)_{B-L}$	+1/3	-1	-1/3	-1/3	+1	+1	0	+1	+2

ゲージ化された $U(1)_{B-L}$ 模型
の登場人物たち

- 対称性の破れのパターン

$$SO(10) \xrightarrow{\langle \Phi_{210} \rangle \neq 0} G_{PS} = SU(4)_C \times SU(2)_L \times SU(2)_R \xrightarrow{\langle \Phi_{\overline{126}} \rangle \neq 0} G_{SM} \xrightarrow{\langle \Phi_{10} \rangle \neq 0} SU(3)_C \times U(1)_{EM}$$

SO(10) pNGB DM模型

- 登場人物たち

[YA-Toma-Tsumura-Yamatsu '21]

	Ψ_{16}						Φ_{10}	Φ_{16}	$\Phi_{\overline{126}}$
SO(10)	16						10	16	$\overline{126}$
	$\psi_{(4,2,1)}$		$\psi_{(\overline{4},1,2)}$				$\phi_{(1,2,2)}$	$\phi_{(\overline{4},1,2)}$	$\phi_{(\overline{10},1,3)}$
G_{PS}	(4, 2, 1)		$(\overline{4}, 1, 2)$				(1, 2, 2)	$(\overline{4}, 1, 2)$	$(\overline{10}, 1, 3)$
	Q_L	L	u_R^c	d_R^c	e_R^c	ν_R^c	H	S	Φ
$SU(3)_C$	3	1	$\overline{3}$	$\overline{3}$	1	1	1	1	1
$SU(2)_L$	2	2	1	1	1	1	2	1	1
$U(1)_Y$	+1/6	-1/2	-2/3	+1/3	+1	0	+1/2	0	0
$U(1)_{B-L}$	+1/3	-1	-1/3	-1/3	+1	+1	0	+1	+2

ゲージ化された $U(1)_{B-L}$ 模型
の登場人物たち

- 対称性の破れのパターン

$$SO(10) \xrightarrow{\langle \Phi_{210} \rangle \neq 0} G_{PS} (\supset G_{SM} \times U(1)_{B-L}) \xrightarrow{\langle \Phi_{\overline{126}} \rangle \neq 0} G_{SM} \xrightarrow{\langle \Phi_{10} \rangle \neq 0} SU(3)_C \times U(1)_{EM}$$

$$G_{SM} \times U(1)_{B-L} \xrightarrow{\langle \Phi \rangle \neq 0} G_{SM} \xrightarrow{\langle H \rangle \neq 0} SU(3)_C \times U(1)_{EM}$$

[YA-Toma-Tsumura '20]

暗黒物質は力の大統一の夢を見るか？

- 力の大統一 + pNGB DM

→ もともと理論にあったフリーパラメータがかっちり決まる。

- ✓ U(1)ゲージ場の中のキネティック混合
- ✓ ゲージ結合定数
- ✓ B-Lが破れる中間スケール $\sim \langle \Phi \rangle$

- 対称性の破れのパターンはPati-Salamゲージ群を経由する

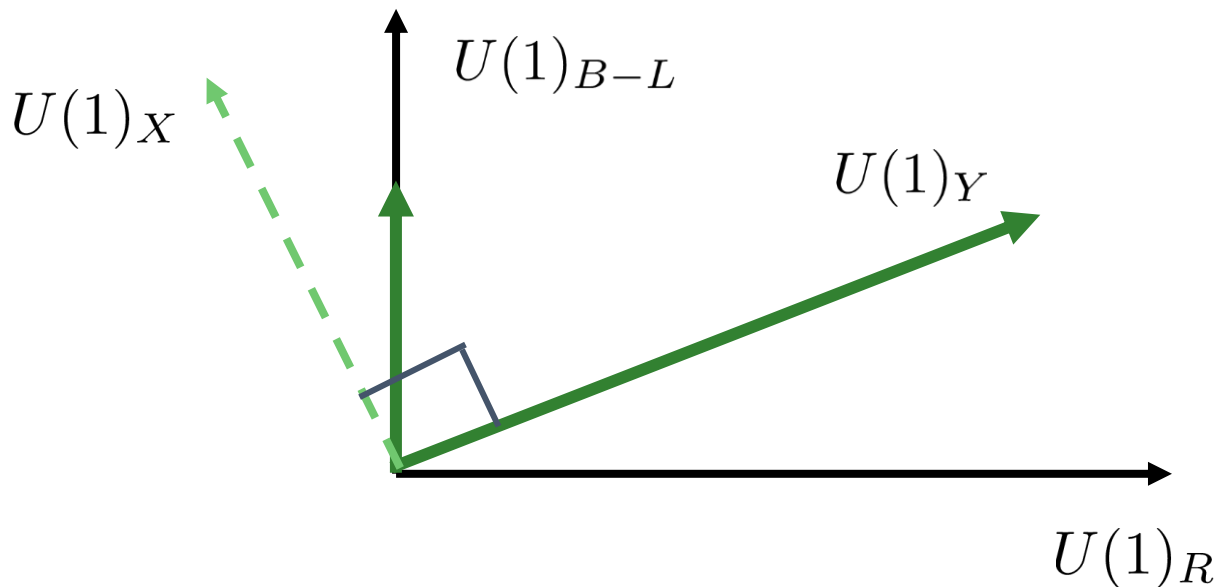
$$SO(10) \rightarrow G_{\text{PS}} = SU(4)_C \times SU(2)_L \times SU(2)_R \rightarrow G_{\text{SM}}$$

⇒ 制限を満たし、力の大統一へと向かう pNGB DMの質量の領域が強く絞られる。

$SO(10)$ pNGB DM模型

- キネティック混合～混合角(cf. SMのWeinberg角)

$$G_{\text{PS}} = \underbrace{SU(4)_C}_{\cup U(1)_{B-L}} \times \underbrace{SU(2)_L}_{\times U(1)_R} \times \underbrace{SU(2)_R}_{\cup U(1)_R} \xrightarrow{\langle \Phi_{\overline{126}} \rangle \neq 0} SU(3)_C \times SU(2)_L \times U(1)_Y$$



キネティック混合は次の値に決まる：

$$\epsilon = -\arctan \sqrt{\frac{2}{3}}$$

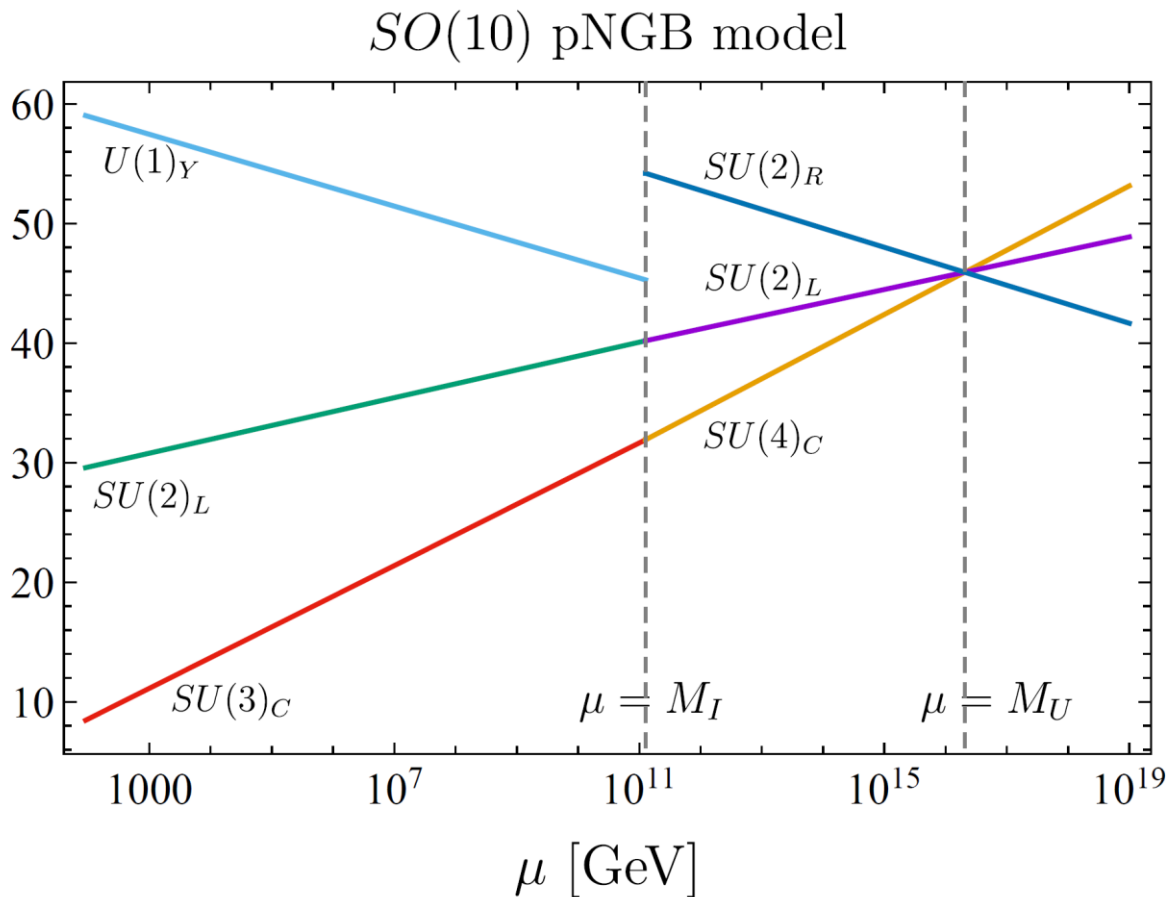
$$I_Y = \sqrt{\frac{3}{5}} I_{3R} + \sqrt{\frac{2}{5}} I_{B-L}$$

SO(10) pNGB DM模型

- くり込み群

$$\mu \leq M_I$$

$$\begin{pmatrix} b_{3C} \\ b_{2L} \\ b_{1Y} \end{pmatrix} = \begin{pmatrix} -7 \\ -19/6 \\ +41/10 \end{pmatrix} \alpha^{-1}$$



$$M_I \leq \mu \leq M_U$$

$$\begin{pmatrix} b_{4C} \\ b'_{2L} \\ b_{2R} \end{pmatrix} = \begin{pmatrix} -22/3 \\ -3 \\ +13/3 \end{pmatrix}$$

$$M_U = 2.06 \times 10^{16} \text{ GeV}$$

$$\alpha_U^{-1} = 45.92$$

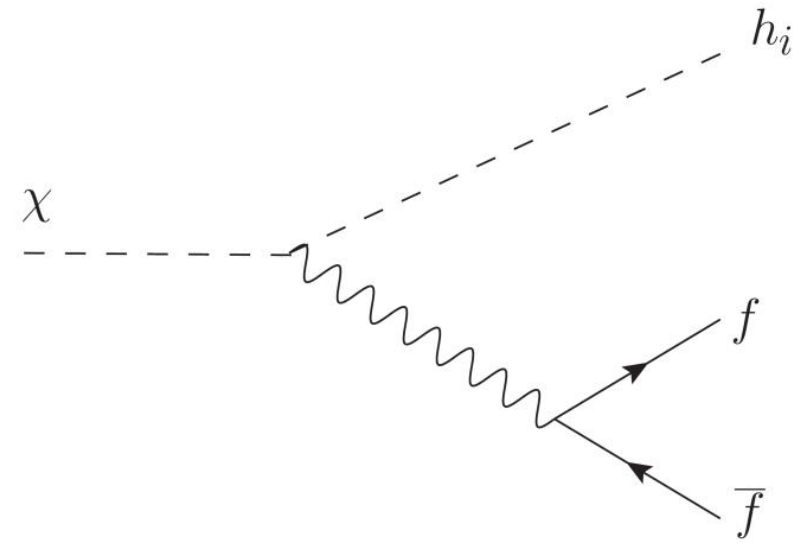
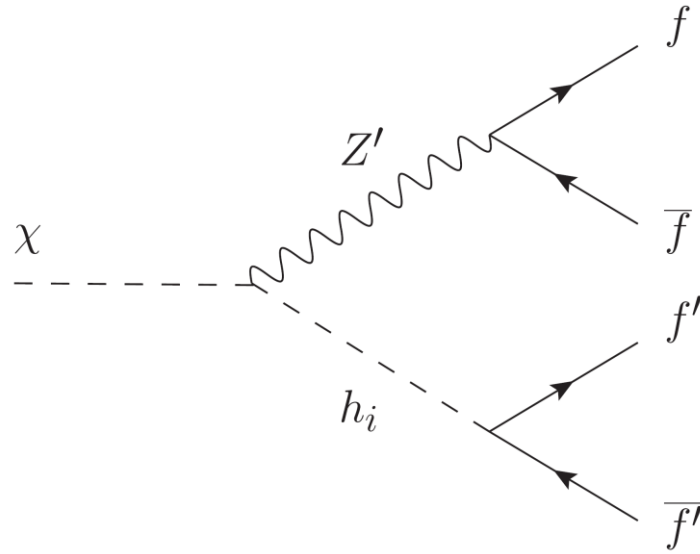
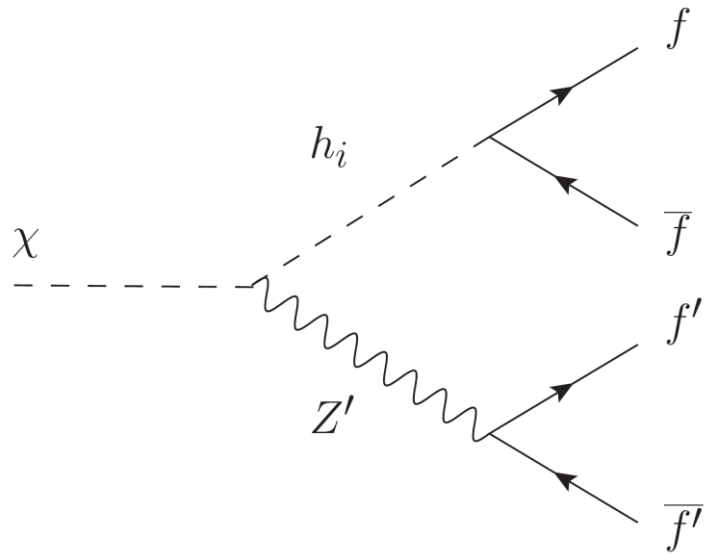
⇒ 中間スケール

$$M_I = 1.26 \times 10^{11} \text{ GeV}$$

$SO(10)$ pNGB DM模型と長寿命DM

- 長寿命DM \rightarrow 崩壊幅は $1/\langle\Phi\rangle$ のべきで抑制される
- $\langle\Phi\rangle$ が小さくなったので、DMを軽くして長寿命を実現
- pNGB DM の4体崩壊と3体崩壊

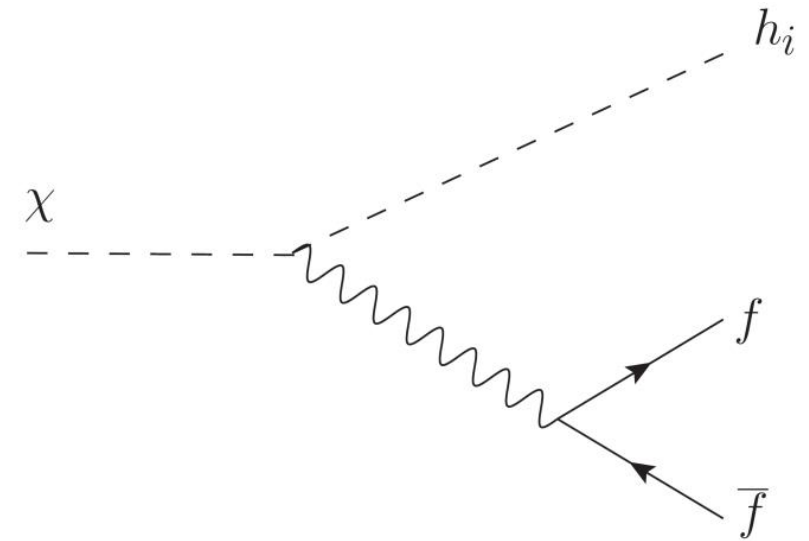
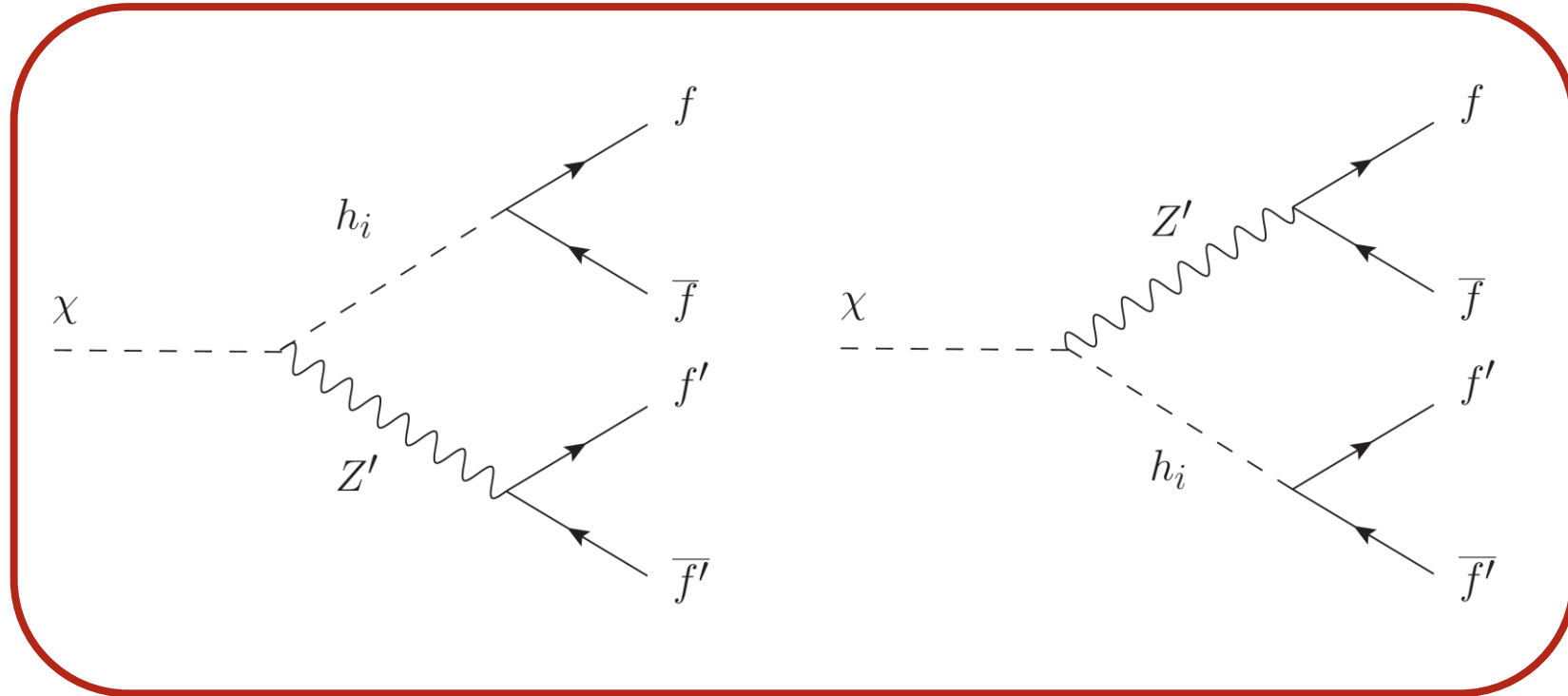
$$\Gamma_\chi \sim \text{factor} \times \frac{m_\chi^{\#1}}{v_\phi^{\#2}}$$



$SO(10)$ pNGB DM模型と長寿命DM

- 長寿命DM \rightarrow 崩壊幅は $1/\langle\Phi\rangle$ のべきで抑制される
- $\langle\Phi\rangle$ が小さくなったので、DMを軽くして長寿命を実現
- pNGB DM の4体崩壊と3体崩壊

$$\Gamma_\chi \sim \text{factor} \times \frac{m_\chi^{\#1}}{v_\phi^{\#2}}$$



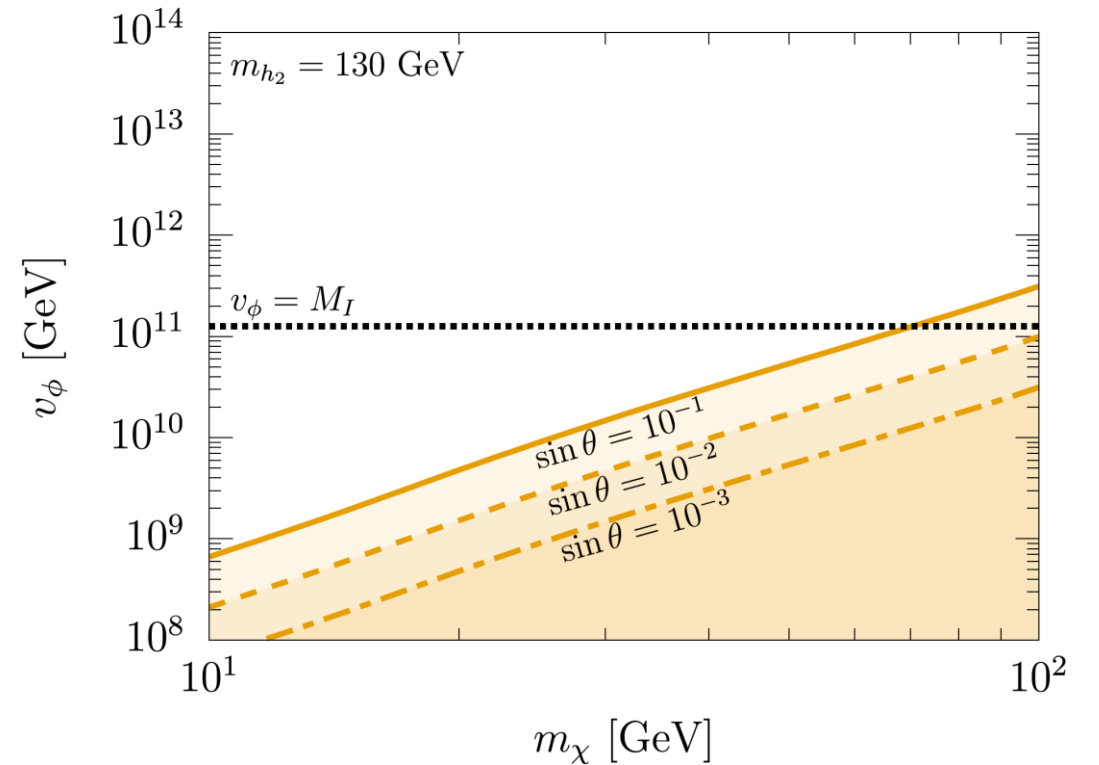
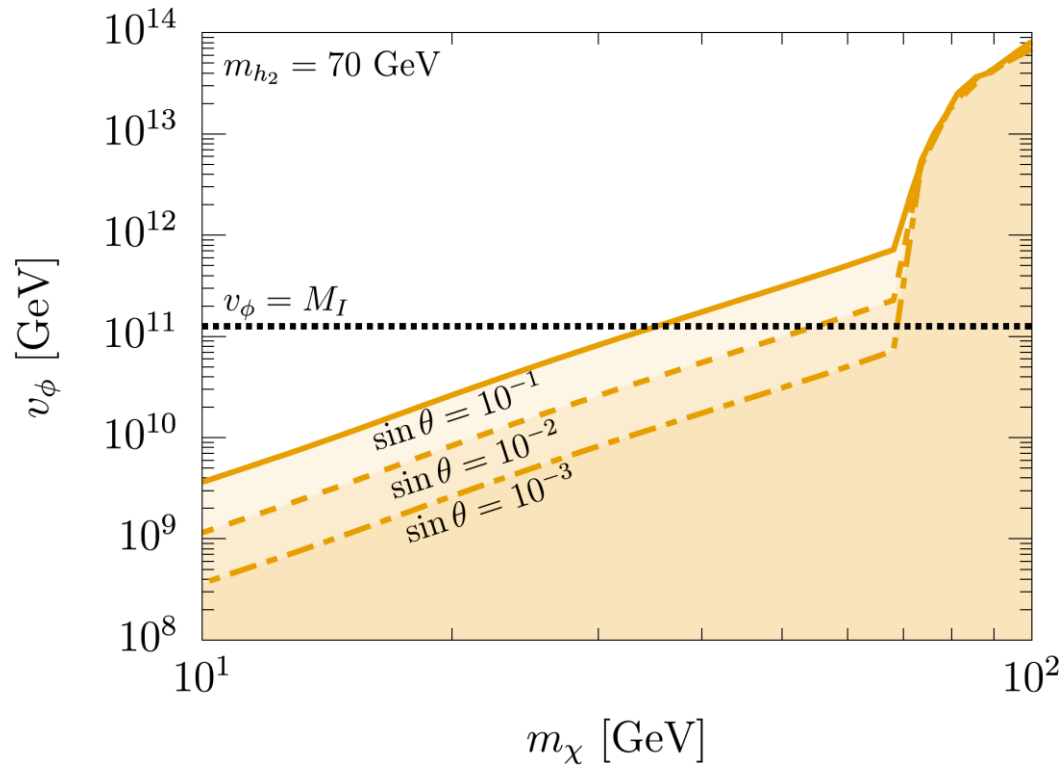
$SO(10)$ pNGB DM模型と長寿命DM

- DMの典型的な質量は $\mathcal{O}(10^{1-2})$ GeV

$$\begin{pmatrix} h \\ s \end{pmatrix} \approx \begin{pmatrix} \cos \theta & \sin \theta \\ -\sin \theta & \cos \theta \end{pmatrix} \begin{pmatrix} h_1 \\ h_2 \end{pmatrix}$$

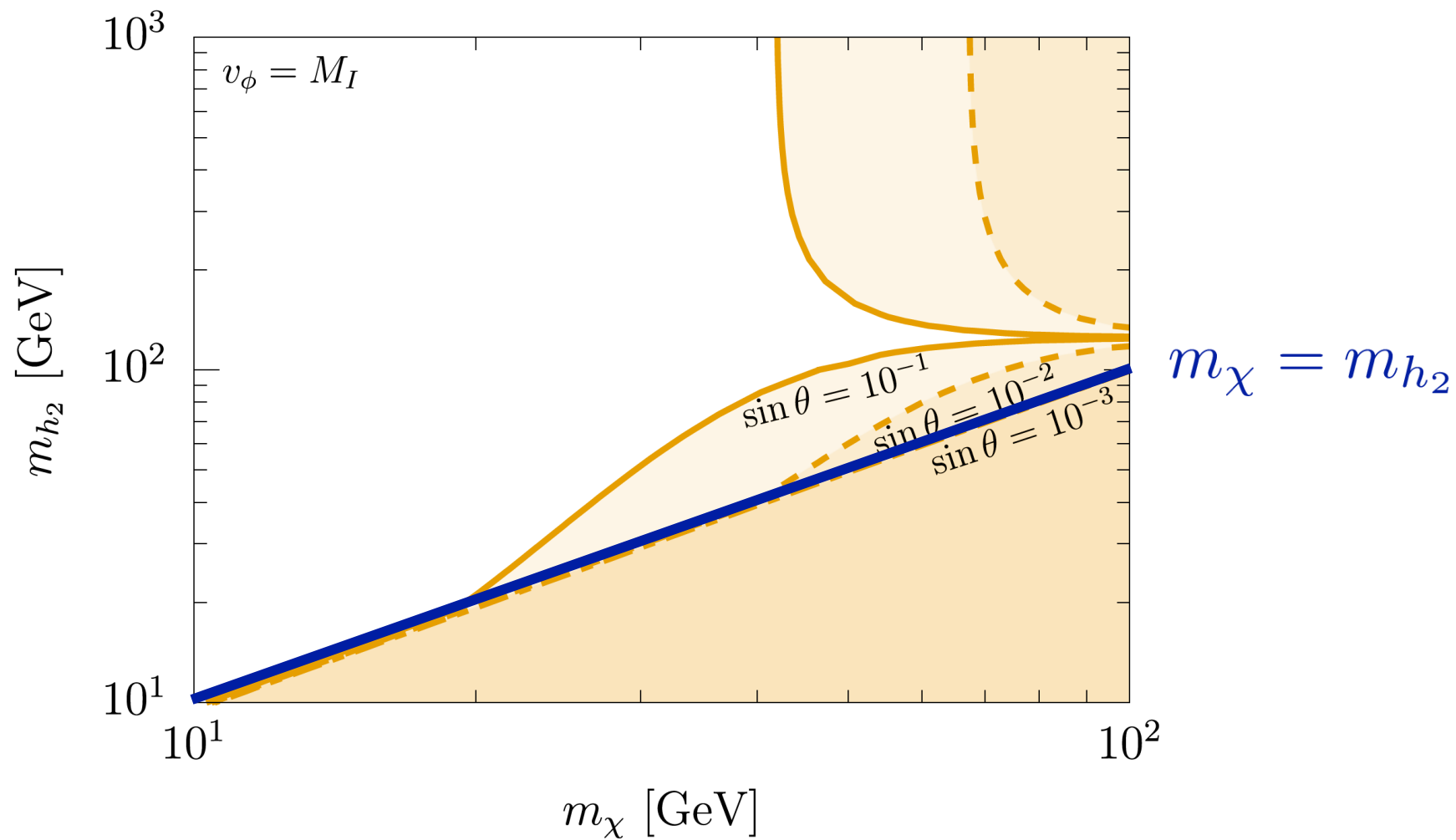
- (m_χ, v_ϕ) -平面

θ : スカラーの混合角



$SO(10)$ pNGB DM模型と長寿命DM

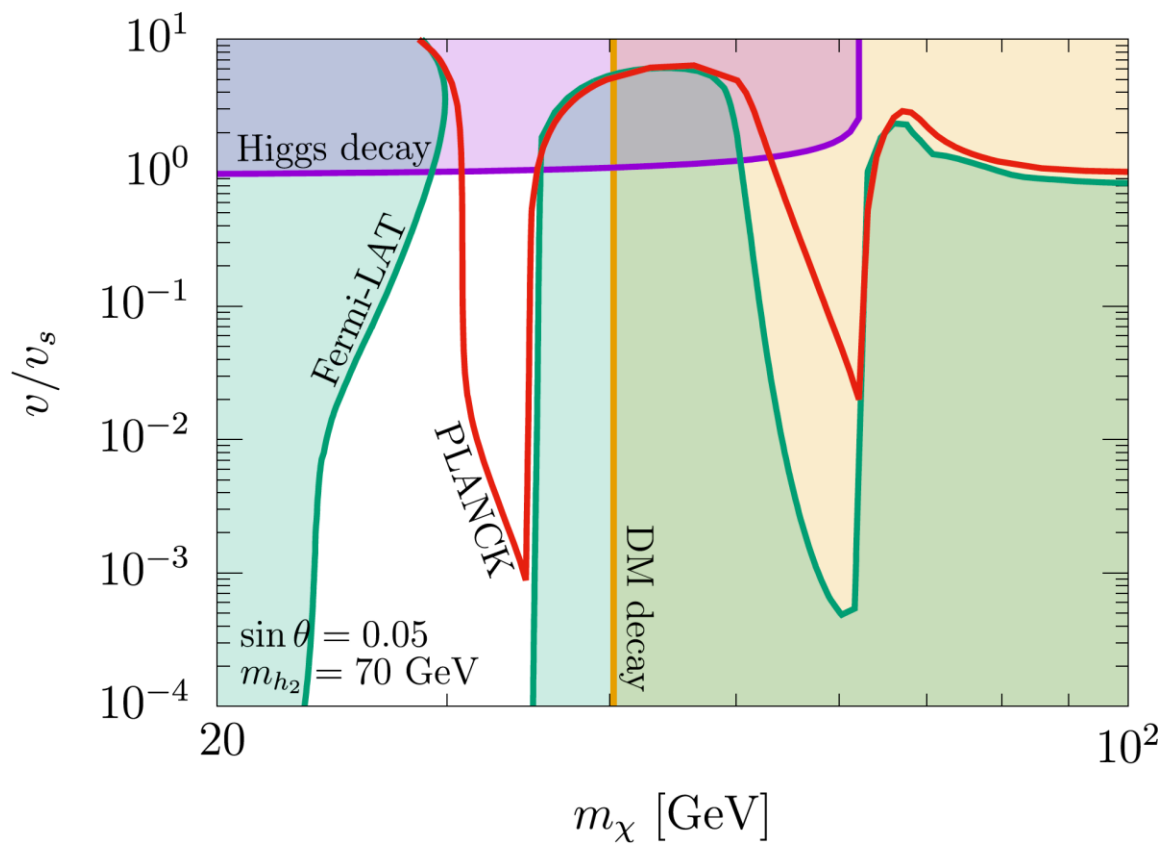
- (m_χ, m_{h_2}) -平面



$SO(10)$ pNGB DM模型のパラメータ空間

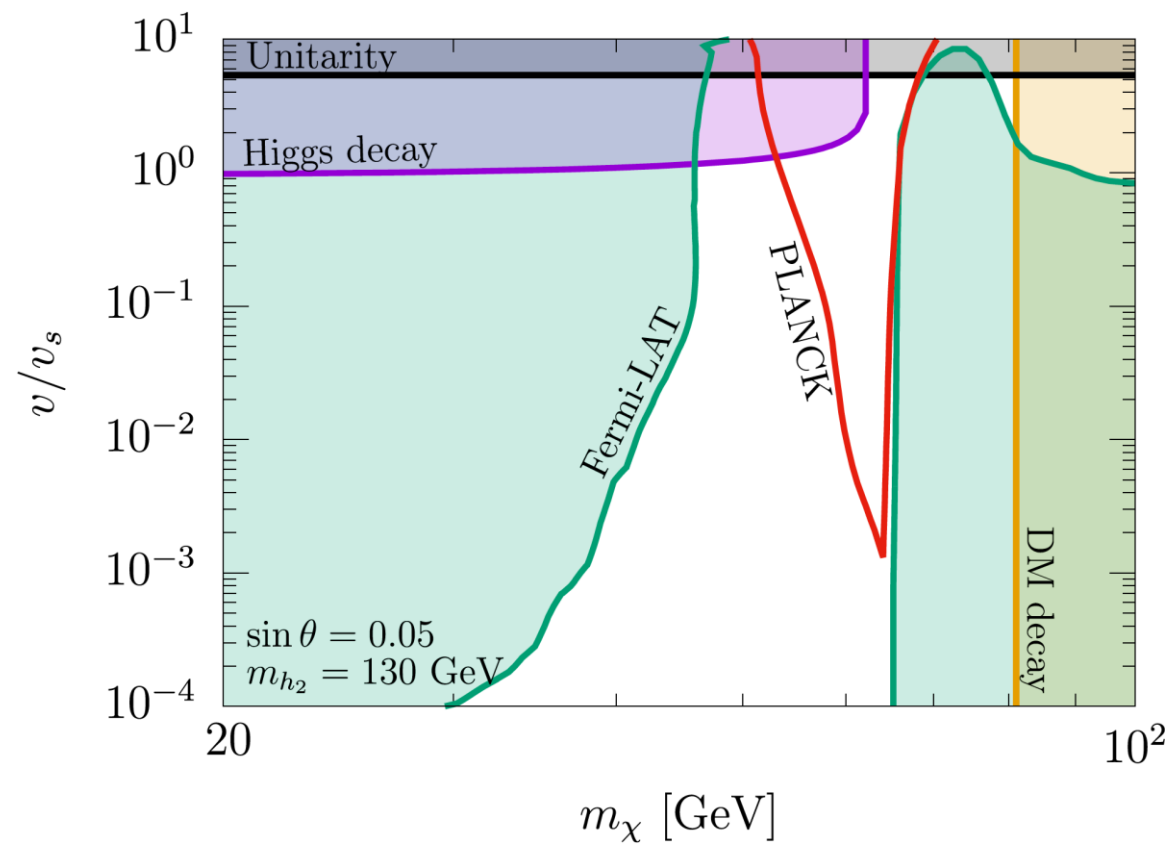
$\sin \theta = 0.05$

$m_{h_2} = 70 \text{ GeV}$



$\sin \theta = 0.05$

$m_{h_2} = 130 \text{ GeV}$



まとめ

- $SO(10)$ pNGB DMをGUTの枠組みの中で提案した

- ゲージ化された $U(1)_{B-L}$ pNGB DMモデルは $SO(10)$ GUTに埋め込まれる

$$H \subset \Phi_{10}, \quad S \subset \Phi_{16}, \quad \Phi \subset \Phi_{\overline{126}}$$

- 力の大統一から次のパラメータの値が得られる

$$\sin \epsilon = -\sqrt{2/5}, \quad v_\phi \approx 10^{11} \text{ GeV}, \quad m_\chi \lesssim \mathcal{O}(100) \text{ GeV}$$

- DMの質量が $\mathcal{O}(100)$ GeVより軽く、共鳴に近いところで、熱的残存量によって説明されるDMが観測と整合的であることを示した

Backup

WIMP DMを求めて

- WIMP DMを実現 → s-channelとt-channelに何か違いを出せればいい



- 相互作用に運動量依存性がうまく入れば行けるかも？

- 擬南部-ゴールドストーンボソン暗黒物質模型

- 擬スカラー媒介暗黒物質模型

[Gross-Lebedev-Toma '17,...]

[Ipek-McKeen-Nelson '14, Abe-Fujiwara-Hisano '18,...]

質量固有値

- 質量固有状態

混合角

$$\tan 2\theta \approx \frac{2vv_s(\lambda_{HS}\lambda_\Phi - \lambda_{H\Phi}\lambda_{S\Phi})}{v^2(\lambda_{H\Phi}^2 - \lambda_H\lambda_\Phi) - v_s^2(\lambda_{S\Phi}^2 - \lambda_S\lambda_\Phi)}$$

- CP-even スカラー

$$\begin{pmatrix} h \\ s \\ \phi \end{pmatrix} \approx \begin{pmatrix} 1 & 0 & \frac{\lambda_{H\Phi}v}{\lambda_\Phi v_\phi} \\ 0 & 1 & \frac{\lambda_{S\Phi}v_s}{\lambda_\Phi v_\phi} \\ -\frac{\lambda_{H\Phi}v}{\lambda_\Phi v_\phi} & -\frac{\lambda_{S\Phi}v_s}{\lambda_\Phi v_\phi} & 1 \end{pmatrix} \begin{pmatrix} \cos\theta & \sin\theta & 0 \\ -\sin\theta & \cos\theta & 0 \\ 0 & 0 & 1 \end{pmatrix} \begin{pmatrix} h_1 \\ h_2 \\ h_3 \end{pmatrix}$$

h_1 : SM-like Higgs boson

$$m_{h_1}^2 \approx \lambda_H v^2 - \frac{\lambda_{H\Phi}^2 \lambda_S - 2\lambda_{HS}\lambda_{H\Phi}\lambda_{S\Phi} + \lambda_\Phi \lambda_{HS}^2}{\lambda_S \lambda_\Phi - \lambda_{S\Phi}^2} v^2 = 125 \text{ GeV},$$

$$m_{h_2}^2 \approx \frac{\lambda_S \lambda_\Phi - \lambda_{S\Phi}^2}{\lambda_\Phi} v_s^2 + \frac{(\lambda_\Phi \lambda_{HS} - \lambda_{H\Phi} \lambda_{S\Phi})^2}{\lambda_\Phi (\lambda_S \lambda_\Phi - \lambda_{S\Phi}^2)} v^2, \quad m_{h_3}^2 \approx \lambda_\Phi v_\phi^2$$

- CP-odd scalars

$$\begin{pmatrix} \eta_s \\ \eta_\phi \end{pmatrix} = \frac{1}{(v_s^2 + 4v_\phi^2)^{1/2}} \begin{pmatrix} 2v_\phi & v_s \\ -v_s & 2v_\phi \end{pmatrix} \begin{pmatrix} \chi \\ \tilde{\chi} \end{pmatrix}$$

χ : pNGB
 $\tilde{\chi}$ はゲージ場に食べられる

$$m_\chi^2 = \frac{\mu_c(v_s^2 + 4v_\phi^2)}{4v_\phi} \quad \mu_c \rightarrow 0 \text{ とすると pNGB は massless に}$$

キネティック混合

- ゲージ群

$$SU(2)_L \times U(1)_Y \times U(1)_{B-L}$$

- 混合

$$\tilde{V}_{\text{GK}} = \begin{pmatrix} 1 & 0 & -\tan \epsilon \\ 0 & 1 & 0 \\ 0 & 0 & 1/\cos \epsilon \end{pmatrix}, \quad \tan 2\zeta = \frac{-m_{\tilde{Z}}^2 \sin \theta_W \sin 2\epsilon}{m_X^2 - m_{\tilde{Z}}^2 (\cos^2 \epsilon - \sin^2 \theta_W \sin^2 \epsilon)}$$

$$U_G = \begin{pmatrix} \cos \theta_W & -\sin \theta_W & 0 \\ \sin \theta_W & \cos \theta_W & 0 \\ 0 & 0 & 1 \end{pmatrix} \begin{pmatrix} 1 & 0 & 0 \\ 0 & \cos \zeta & -\sin \zeta \\ 0 & \sin \zeta & \cos \zeta \end{pmatrix}$$

- 質量固有状態

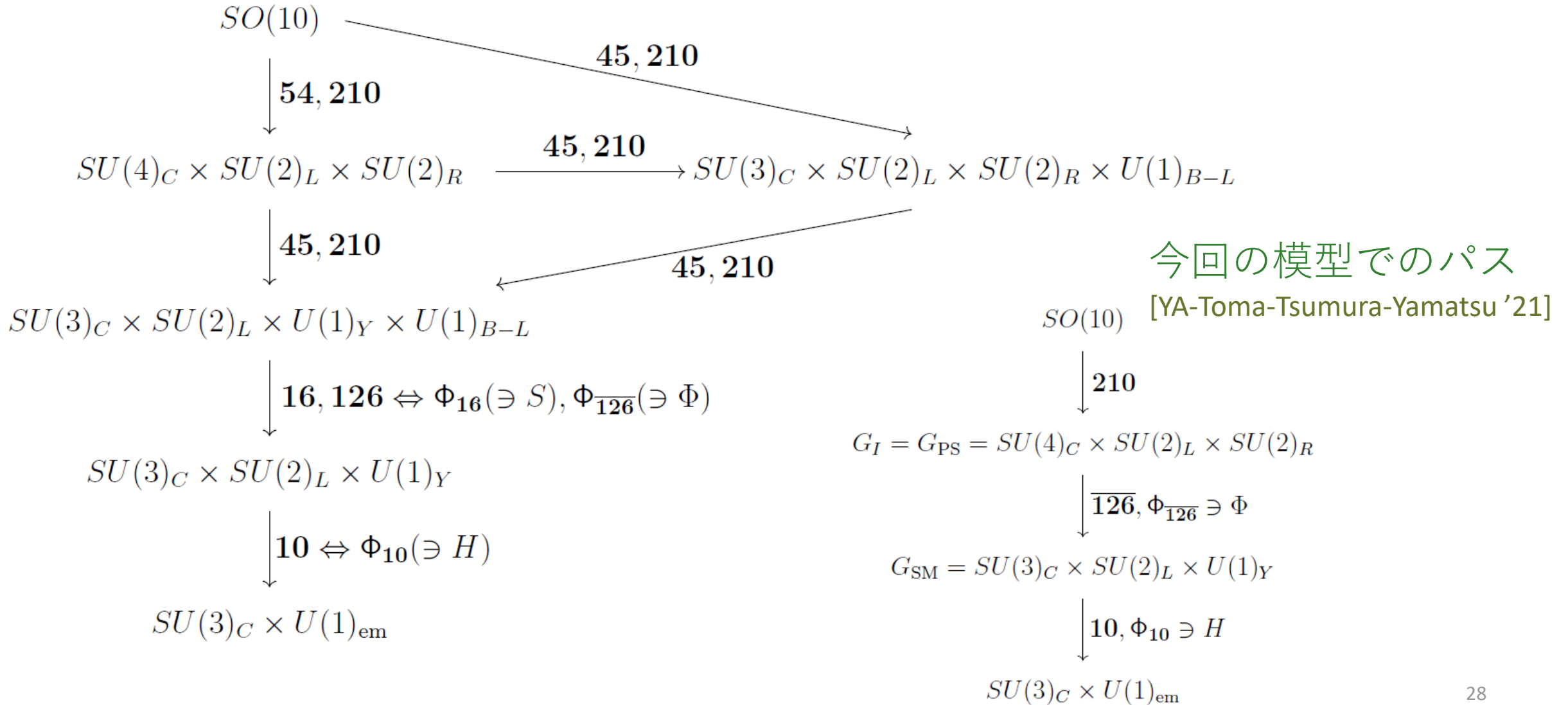
$$\begin{pmatrix} B_\mu \\ W_\mu^3 \\ X_\mu \end{pmatrix} = \tilde{V}_{\text{GK}} U_G \begin{pmatrix} A_\mu \\ Z_\mu \\ Z'_\mu \end{pmatrix}$$

- 質量固有値

$$m_{Z'}^2 = \frac{1}{2} \left[\overline{M}^2 - \sqrt{\overline{M}^4 - \frac{4m_{\tilde{Z}}^2 m_X^2}{\cos^2 \epsilon}} \right], \quad m_{Z'}^2 = \frac{1}{2} \left[\overline{M}^2 + \sqrt{\overline{M}^4 + \frac{4m_{\tilde{Z}}^2 m_X^2}{\cos^2 \epsilon}} \right],$$

$$\overline{M}^2 := m_{\tilde{Z}}^2 (1 + \sin^2 \theta_W \tan^2 \epsilon) + m_X^2 / \cos^2 \epsilon$$

$SO(10) \rightarrow SU(3)_C \times U(1)_{em}$ のパス



ゲージキネティック混合 in $SO(10)$ pNGB模型

- $E_\mu: U(1) \subset SU(4)_C$ のゲージ場, $W_\mu'^3: U(1) \subset SU(2)_R$ のゲージ場

- Lagrangian

$$\begin{aligned} \mathcal{L} \supset & -\frac{1}{4}(E_{\mu\nu})^2 - \frac{1}{4}(W_{\mu\nu}'^3)^2 + \frac{1}{2}\left(\frac{v_s^2}{4} + v_\phi^2\right)(2g_{B-L}E_\mu - g_R W_\mu'^3)^2 \\ & = -\frac{1}{4}(B'_{\mu\nu})^2 - \frac{1}{4}(C'_{\mu\nu})^2 + \frac{1}{2}M_{C'}^2 C_\mu'^2 \\ & = -\frac{1}{4}(B_{\mu\nu})^2 - \frac{1}{4}(C_{\mu\nu})^2 - \frac{\sin \epsilon}{2}B_{\mu\nu}C^{\mu\nu} + \frac{1}{2}M_C^2 C_\mu^2 \end{aligned}$$

- ゲージ場の関係

$$\begin{pmatrix} B'_\mu \\ C'_\mu \end{pmatrix} = \begin{pmatrix} \cos \epsilon & \sin \epsilon \\ -\sin \epsilon & \cos \epsilon \end{pmatrix} \begin{pmatrix} W_\mu'^3 \\ E_\mu \end{pmatrix}, \quad \begin{pmatrix} B_\mu \\ C_\mu \end{pmatrix} = \begin{pmatrix} 1 & -\tan \epsilon \\ 0 & 1/\cos \epsilon \end{pmatrix} \begin{pmatrix} B'_\mu \\ C'_\mu \end{pmatrix}, \quad \begin{pmatrix} W_\mu'^3 \\ E_\mu \end{pmatrix} = \begin{pmatrix} \cos \epsilon & 0 \\ \sin \epsilon & 1 \end{pmatrix} \begin{pmatrix} B_\mu \\ C_\mu \end{pmatrix}$$

- 共変微分

$$D_\mu \supset ig_{B-L}E_\mu Q_{B-L} + ig_R W_\mu'^3 I_3^{SU(2)_R} = ig_{B-L}C_\mu Q_{B-L} + ig_1 B_\mu Q_Y$$

ベータ関数係数

- ベクトル場、Weylフェルミオン、実・複素スカラー場について

$$b_i = -\frac{11}{3} \sum_{\text{vector}} T(R_V) + \frac{2}{3} \sum_{\text{Weyl}} T(R_F) + \frac{1}{6} \sum_{\text{Real}} T(R_{RS}) + \frac{1}{3} \sum_{\text{Complex}} T(R_{CS})$$

- ベクトル場 \Rightarrow ゲージ場 $T(R_V) = C_2(G)$
 - $C_2(G)$: G の随伴表現の2次のCasimir不変量
- $T(R_i)$: 既約表現 R_i のDynkin index

\mathfrak{su}_n irrep.	$d(R)$	$C_2(R)$	$T(R)$	$A(R)$	$C_c(R)$	C/R/PR
(0000...0000)	1	0	0	0	0	R
(1000...0000)	n	$\frac{n^2-1}{2}$	$\frac{1}{2}$	+1	1	C/PR $_{n=2}$
(0000...0001)	n	$\frac{n^2-1}{2}$	$\frac{1}{2}$	-1	$n-1$	C/PR $_{n=2}$
(0100...0000)	$\frac{n(n-1)}{2}$	$\frac{(n+1)(n-2)}{2}$	$\frac{n-2}{2}$	$n-4$	2	C/R $_{n=4}$
(0000...0010)	$\frac{n(n-1)}{2}$	$\frac{(n+1)(n-2)}{2}$	$\frac{n-2}{2}$	$-n+4$	$n-2$	C/R $_{n=4}$
(2000...0000)	$\frac{n(n+1)}{2}$	$\frac{(n-1)(n+2)}{2}$	$\frac{n+2}{2}$	$n+4$	2	C/R $_{n=2}$
(0000...0002)	$\frac{n(n+1)}{2}$	$\frac{(n-1)(n+2)}{2}$	$\frac{n+2}{2}$	$-n-4$	$n-2$	C/R $_{n=2}$
(1000...0001)	n^2-1	n	n	0	0	R
(0010...0000)	$\frac{n(n-1)(n-2)}{6}$	$\frac{(n-2)(n-3)(n-4)}{12}$	$\frac{(n-3)(n-2)}{4}$	$\frac{(n-3)(n-6)}{2}$	3	C/PR $_{n=6}$
(0000...0100)	$\frac{n(n-1)(n-2)}{6}$	$\frac{(n-2)(n-3)(n-4)}{12}$	$\frac{(n-3)(n-2)}{4}$	$-\frac{(n-3)(n-6)}{2}$	$n-3$	C/PR $_{n=6}$
(1100...0000)	$\frac{n(n-1)(n+1)}{3}$	$\frac{3(n^2-3)}{2}$	$\frac{n^2-3}{2}$	n^2-9	3	C/R $_{n=3}$
(0000...0011)	$\frac{n(n-1)(n+1)}{3}$	$\frac{3(n^2-3)}{2}$	$\frac{n^2-3}{2}$	$-n^2+9$	$n-3$	C/R $_{n=3}$
(3000...0000)	$\frac{n(n+1)(n+2)}{6}$	$\frac{(n+2)(n+3)(n+4)}{12}$	$\frac{(n+2)(n+3)}{4}$	$\frac{(n+3)(n+6)}{2}$	3	C/PR $_{n=2}$
(0000...0003)	$\frac{n(n+1)(n+2)}{6}$	$\frac{(n+2)(n+3)(n+4)}{12}$	$\frac{(n+2)(n+3)}{4}$	$-\frac{(n+3)(n+6)}{2}$	$n-3$	C/PR $_{n=2}$
(0200...0000)	$\frac{n^2(n+1)(n-1)}{12}$	$\frac{n(n^2-16)}{3}$	$\frac{n(n-2)(n+2)}{6}$	$\frac{n(n-4)(n+4)}{3}$	4	C/R $_{n=4}$
(0000...0020)	$\frac{n^2(n+1)(n-1)}{12}$	$\frac{n(n^2-16)}{3}$	$\frac{n(n-2)(n+2)}{6}$	$-\frac{n(n-4)(n+4)}{3}$	$n-4$	C/R $_{n=4}$

Pati-Salam or Left-Right

- 中間スケール、統一スケール、統一ゲージ結合のまとめ

Group G_I	Scalars at $\mu = M_I$	b_j	$\frac{\log_{10}(M/1[\text{GeV}])}{M_I}$	$\frac{\log_{10}(M/1[\text{GeV}])}{M_U}$	α_U^{-1}
G_{PS}	$(\mathbf{1}, \mathbf{2}, \mathbf{2})_{10}$ $(\overline{\mathbf{4}}, \mathbf{1}, \mathbf{2})_{16}$ $(\overline{\mathbf{10}}, \mathbf{1}, \mathbf{3})_{\overline{126}}$	$\begin{pmatrix} b_{4C} \\ b'_{2L} \\ b_{2R} \end{pmatrix} = \begin{pmatrix} -\frac{22}{3} \\ -3 \\ +\frac{13}{3} \end{pmatrix}$	11.10 ± 0.08	16.31 ± 0.15	45.92 ± 0.50
$G_{\text{PS}} \times D$	$(\mathbf{1}, \mathbf{2}, \mathbf{2})_{10}$ $(\mathbf{4}, \mathbf{2}, \mathbf{1})_{16}$ $(\overline{\mathbf{4}}, \mathbf{1}, \mathbf{2})_{16}$ $(\overline{\mathbf{10}}, \mathbf{1}, \mathbf{3})_{\overline{126}}$ $(\mathbf{10}, \mathbf{3}, \mathbf{1})_{\overline{126}}$	$\begin{pmatrix} b_{4C} \\ b'_{2L} \\ b_{2R} \end{pmatrix} = \begin{pmatrix} -4 \\ +\frac{13}{3} \\ +\frac{13}{3} \end{pmatrix}$	13.71 ± 0.03	15.22 ± 0.04	40.82 ± 0.13
G_{LR}	$(\mathbf{1}, \mathbf{2}, \mathbf{2}, \mathbf{0})_{10}$ $(\mathbf{1}, \mathbf{1}, \mathbf{2}, \mathbf{1})_{16}$ $(\mathbf{1}, \mathbf{1}, \mathbf{3}, \mathbf{2})_{\overline{126}}$	$\begin{pmatrix} b'_{3C} \\ b'_{2L} \\ b_{2R} \\ b_{B-L} \end{pmatrix} = \begin{pmatrix} -7 \\ -3 \\ -\frac{13}{6} \\ +\frac{23}{4} \end{pmatrix}$	8.57 ± 0.06	16.64 ± 0.13	46.13 ± 0.41
$G_{\text{LR}} \times D$	$(\mathbf{1}, \mathbf{2}, \mathbf{2}, \mathbf{0})_{10}$ $(\mathbf{1}, \mathbf{1}, \mathbf{2}, \mathbf{1})_{16}$ $(\mathbf{1}, \mathbf{2}, \mathbf{1}, \mathbf{1})_{16}$ $(\mathbf{1}, \mathbf{1}, \mathbf{3}, \mathbf{2})_{\overline{126}}$ $(\mathbf{1}, \mathbf{3}, \mathbf{1}, -\mathbf{2})_{\overline{126}}$	$\begin{pmatrix} b'_{3C} \\ b'_{2L} \\ b_{2R} \\ b_{B-L} \end{pmatrix} = \begin{pmatrix} -7 \\ -\frac{13}{6} \\ -\frac{13}{6} \\ +\frac{15}{2} \end{pmatrix}$	10.11 ± 0.04	15.57 ± 0.09	43.38 ± 0.30

Complex **10** rep.